



## سنگ‌شناسی، شیمی کانی و شکل گیری کرومیت‌های الند و قشلاق، مجموعه‌ی افیولیتی خوی (شمال‌غرب ایران)

علی کنعانیان<sup>\*</sup>، منصور عطایی<sup>۱</sup>، میرصالح میر محمدی<sup>۲</sup>، علی امامعلی پور<sup>۳</sup>

- ۱- دانشکده زمین‌شناسی، پردیس علوم، دانشگاه تهران  
۲- دانشکده مهندسی معدن، پردیس فنی و مهندسی، دانشگاه تهران  
۳- گروه مهندسی معدن، دانشکده فنی و مهندسی، دانشگاه ارومیه

(دریافت مقاله: ۸۸/۱۰/۱، نسخه نهایی: ۸۸/۱۲/۲۳)

چکیده: ذخایر کرومیت مناطق الند (روستاهای برزوک و کوچک) و قشلاق در افیولیت خوی بیشتر به صورت عدسی، لایه‌ای یا توده‌ای نامنظم و پراکنده با غلاف‌های دونیتی و سنگ‌های هارزبورژیتی دربرگرفته شده‌اند. این کرومیت‌ها از نظر ترکیب به کرومیت‌های نوع آلبی شباهت داشته و بافت‌های گرهکی، توده‌ای، افسان و لایه‌ای نشان می‌دهند. داده‌های حاصل از تجزیه‌های شیمیابی نقطه‌ای (EMPA) نشان می‌دهند که کرومیت‌ها عدد کروم  $[Cr/(Cr + Al)] = 0.100$  است. متفاوت داشته و میانگین آن در کرومیت‌های موجود در هارزبورژیت‌ها  $0.12/0.13$ ، کرومیت‌های افسان قشلاق و برزوک به ترتیب  $0.058/0.058$  و  $0.12/0.12$  و کرومیت‌های موجود در کرومیت‌های روستاهای برزوک و کوچک به ترتیب  $0.066/0.073$  و  $0.043/0.045$  است. ترکیب کرومیت‌ها از نظر عدد کروم، عدد منیزیم، مقادیر  $Al_2O_3$ ،  $Fe_2O_3$ ،  $Cr_2O_3$  و  $MgO$  و  $TiO_2$  و نیز ضرایب همبستگی میان اکسیدهای گوناگون با ترکیب کلی کرومیت‌های نوع انبانه‌ای همخوانی دارد. کرومیت‌های منطقه‌ی الند از نوع کروم بالا با  $> 0.66\%$  و کرومیت‌های قشلاق از نوع  $Al$  بالا با  $Cr = 0.40$  درصد وزنی هستند. با توجه به مقادیر  $TiO_2$ ،  $Cr_2O_3$  و  $Al_2O_3$  در نمونه‌های مورد بررسی به نظر می‌رسد که کرومیت‌های منطقه‌ی الند از یک ماسه‌ای بونینیتی در جایگاه زمین ساختی چندفرورانشی و کرومیت‌های قشلاق از یک ماسه‌ای تولئیتی مشابه مورب تولید شده باشند.

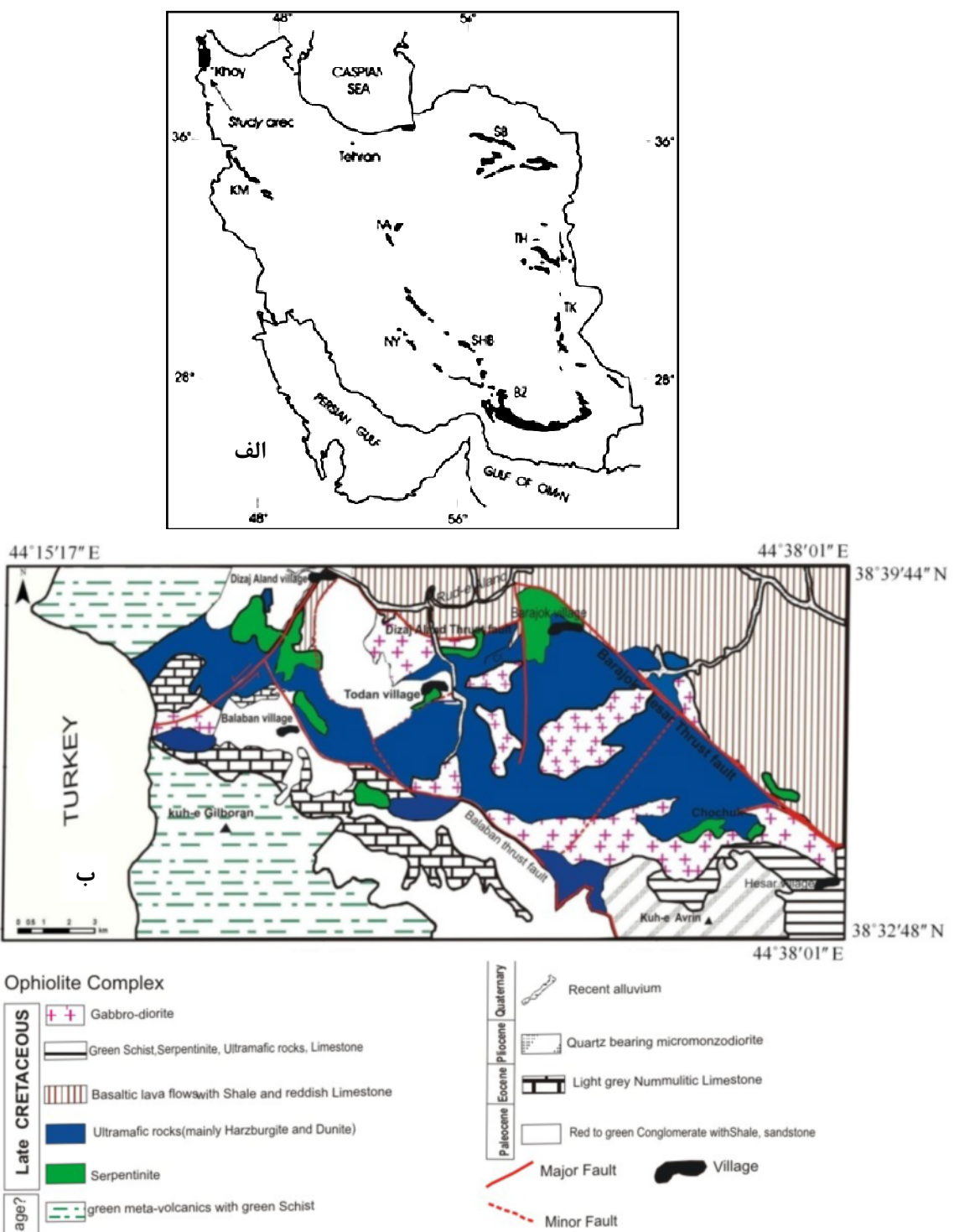
واژه‌های کلیدی: کرومیت‌های انبانه‌ای، چندفرورانشی، بونینیت، افیولیت خوی، ایران.

ورقه‌ای، گدازه‌های توده‌ای و بالشی و سنگ‌های رسوبی پلازیک شامل چرت رادیولاریتی تشکیل شده است [۱]. افیولیت خوی هم ارز گروه درونی افیولیت‌های ایران (شامل نائین، شهربابک، سبزوار، چهل کوره و کهنوج) بوده و در نتیجه‌ی بسته شدن شاخه‌ی شمال‌غربی دریای مازوزوئیک ایجاد شده است که زمانی ریزقاره‌ی ایران مرکزی را احاطه کرده بود (شکل ۱الف، [۱،۲]).

### مقدمه

افیولیت خوی در مقیاس زمین ساخت جهانی، در بخش میانی کمربند کوهزایی آلب-هیمالیا و با گسترشی بالغ بر ۳۹۰۰ کیلومتر مربع نشان‌دهنده‌ی بقایای لیتوسفر اقیانوسی نئوتیس در مازوزوئیک است. مجموعه‌ی مورد بررسی از پایین به بالا از یک زون دگرگونه‌ی قاعده‌ای مشخص، پریدوتیت‌های سالم (دونیت و هارزبورژیت) و سرپانتینی شده، گابروها، دایک‌های

\* نویسنده مسئول، تلفن: ۰۹۱۲۳۴۸۰۹۷۴، نما بر: ۶۶۴۹۱۶۲۳ (۰۲۱)، پست الکترونیکی: kananian@khayam.ut.ac.ir



شکل ۱ (الف) نقشهٔ پراکندگی افیولیت‌های ایران و موقعیت افیولیت خوی [۲۰] ب) نقشهٔ زمین‌شناسی منطقهٔ مورد بررسی که از کنار هم قراردادن نقشه‌های ۱/۱۰۰۰۰۰ خوی و ۱/۱۰۰۰۰ دیزج با تغییرات جزئی تهیه شده است [۹، ۱۰].

محیط‌های مختلفی چون جزایر قوسی، حوضه‌های پشت قوسی و پشته‌های میان اقیانوسی (MORB) پیشنهاد شده است [۳، ۴]. شیمی کانی کرومیت و سیلیکات‌های همراه آنها و نیز

خاستگاه کرومیت‌های انبانه‌ای (podiform) و محیط زمین ساختی تشکیل آنها یکی از موضوعات بحث برانگیز و قابل توجه در زمین‌شناسی است. تاکنون برای شکل گیری این کانسارها

بهره‌برداری هستند.

#### منطقه‌ی الند (برژوک و کوچک)

این منطقه از نظر گسترش سنگ‌های اولترامافیک، کرومیت‌ها و نیز رخنمون سنگ‌های لیستونیتی دارای اهمیت است. اولترامافیک‌های این ناحیه از هارزبورژیت، هارزبورژیت‌های سرپانتینیت شده، سرپانتینیت، دونیت و مقدار کمی پیروکسینیت تشکیل شده‌اند. در ذخایر مورد بررسی، به طور معمول توده‌های کرومیتی با پوششی از دونیت در برگرفته شده‌اند به طوری که بخش دونیتی حدفاصل کرومیت‌ها و هارزبورژیت‌ها را تشکیل می‌دهد. بیشتر این پوشش دونیتی به سرپانتینیت تبدیل شده، ولی تشخیص آن از هارزبورژیت سرپانتینی شده با توجه به بافت‌های باقیمانده‌ی متفاوت امکان پذیر است.

#### منطقه‌ی قشلاق

در منطقه‌ی قشلاق (شمال باختر خوی) نیز چند توده‌ی کرومیتی به شکل عدسی‌های کشیده با فاصله‌ای اندک از هم‌دیگر یافت می‌شوند. بافت کانسنگ در این منطقه بیشتر گرهکی تا افشار بوده و در مقایسه با کرومیت‌های ناحیه‌ی الند، عیار کمتری داردند.

#### روش بررسی

در این پژوهش، از روش سنگ‌نگاری (Petrography) برای بررسی بافت و کانی‌شناسی کرومیت‌ها و نیز سنگ میزبان آنها استفاده شده است. بدین منظور تعداد ۸۰ مقطع میکروسکوبی (۳۹ مقطع صیقلی و ۴۱ مقطع نازک) تهیه و مورد بررسی قرار گرفتند. ترکیب شیمیایی کرومیت‌ها نیز بر اساس تجزیه‌ی شیمیایی نقطه‌ای بلورهای کرومیت به روش ریزکاو الکترونی مورد بررسی قرار گرفته است. تجزیه‌ی شیمیایی نقطه‌ای کرومیت‌ها به تعداد ۳۹ نقطه از ۶ مقطع نازک-صیقلی (Polished thin section) با یک دستگاه ریزکاو الکترونیکی مدل Cameca SX50 با ولتاژ 20 KV و شدت جریان 20 nA در دانشگاه Oklahoma City ایالات متحده‌ی آمریکا صورت گرفته است. از میان این نمونه‌ها، تعداد ۲۰ نقطه به کرومیت‌های با بافت توده‌ای (جدول‌های ۱ و ۲)، ۱۶ نقطه به کرومیت‌های با بافت افشار و گرهکی (جدول‌های ۳ و ۴)، و ۳ نقطه نیز به کرومیت‌های موجود در سنگ‌های هارزبورژیتی نزدیک غلافهای دونیتی (جدول ۴) وابسته‌اند.

درجه تبلورشان معیاری ارزشمند برای شناسایی شرایط تشکیل و ترکیب گدازه‌ی مادر آنهاست و می‌تواند به عنوان شاخصی برای شناسایی خاستگاه ماقماً و تشخیص محیط‌های زمین ساختی مختلف استفاده شود [۸-۵]. علیرغم بررسی‌های متالوژنی و زمین‌شناسی ناحیه‌ای در خصوص مجموعه‌ی افیولیتی خوی، تاکنون بررسی‌های جامع و در عین حال اقتصادی از کرومیت‌های نوع انبانهای پر عیار (کرومیت) از جمله در منطقه‌ی الند (روستاهای برژوک و کوچک) و پیرامون آن مورد شناسایی قرار گرفته است، بررسی‌های کانی شناختی و تجزیه‌های شیمیایی می‌تواند برای دستیابی به ویژگی‌های شیمیایی کانی کرومیت، و ارتباط آن با سنگ‌های میزبان مفید باشد.

#### زمین‌شناسی ناحیه‌ای

منطقه‌ی مورد بررسی در شمال باختر ایران و در زون ساختاری البرز-آذربایجان بین طول‌های  $44^{\circ} 38' 15''$  تا  $44^{\circ} 38' 38''$  شرقی و عرض‌های  $32^{\circ} 38' 38''$  تا  $32^{\circ} 39' 00''$  شمالی قرار گرفته است. (شکل ۱ ب، [۱۰، ۹]). تاکنون نزدیک به ۱۰ رخداد کرومیتی در گستره‌ی افیولیتی ناحیه‌ی خوی شناسایی شده‌اند. این سنگ‌های بازی (شامل هارزبورژیت، دونیت و اندکی پیروکسینیت) که بیشترشان سرپانتینی شده‌اند، به تنها یک گسترشی بیش از ۲۵۰ کیلومتر مریع از افیولیت خوی را به خود اختصاص داده‌اند. گابرو و گدازه‌های بازالی با ساخت بالشی در دو سوی رودخانه‌ی الند گسترش دارند. سنگ‌های رودنژیتی از دیگر واحدهای سنگی این منطقه‌اند. اوسن شامل سنگ آهک، مارن و کنگلومرا به سن لوتسین به طور ناهم شبی روی اولترامافیک‌ها جای گرفته‌اند [۱۱].

توده‌های کرومیتی به صورت صفحه‌ای، عدسی‌شکل و پراکنده (disseminated) درون هارزبورژیت‌های گوشته‌ای جای دارند و تاکنون هارزبورژیت‌های زون انتقالی گوشته-پوسته و نهشته‌های کرومیت احتمالی همراه آنها در افیولیت خوی شناسایی نشده‌اند [۱۲]. بیشتر این رخدادها کوچک بوده و ذخیره‌ی اندکی دارند و در حال حاضر تنها کانسارهای الند (برژوک و کوچک) و قشلاق با چند ده هزار تن ذخیره قابل

جدول ۱ نتایج آنالیز ریزپرداز الکترونی کانی کرومیت در کرومیتیت‌های برزوک.

	Kh-1	kh-2	Kh-3	Kh-4	Kh-5	Kh-6	Kh-7	Kh-8	Kh-9	Kh-10
SiO <sub>2</sub>	۰,۰۰	۰,۰۰	۰,۰۳	۰,۰۲	۰,۰۱	۰,۰۲	۰,۰۳	۰,۰۱	۰,۰۰	۰,۰۰
TiO <sub>2</sub>	۰,۱۴	۰,۱۴	۰,۱۲	۰,۱۳	۰,۱۳	۰,۱۴	۰,۱۵	۰,۱۴	۰,۱۵	۰,۱۲
Al <sub>2</sub> O <sub>3</sub>	۱۷,۲۶	۱۷,۲۶	۱۷,۴۴	۱۷,۳۱	۱۷,۴۵	۱۷,۳۴	۱۷,۳۷	۱۷,۵۸	۱۷,۴۷	۱۷,۵۷
Cr <sub>2</sub> O <sub>3</sub>	۵۱,۹۸	۵۲,۲۰	۵۱,۹۱	۵۲,۴۰	۵۲,۲۳	۵۲,۳۹	۵۲,۱۷	۵۲,۱۹	۵۱,۷۶	۵۲,۲۸
FeO*	۱۵,۸۴	۱۵,۸۲	۱۵,۸۷	۱۵,۳۷	۱۵,۰۲	۱۵,۲۸	۱۵,۴۴	۱۵,۱۲	۱۵,۴۰	۱۵,۴۹
MnO	۰,۰۸	۰,۰۴	۰,۰۷	۰,۰۷	۰,۰۴	۰,۰۵	۰,۰۳	۰,۰۸	۰,۰۶	۰,۰۶
NiO	۰,۱۳	۰,۱۰	۰,۱۰	۰,۱۴	۰,۱۷	۰,۱۸	۰,۱۲	۰,۱۲	۰,۱۴	۰,۱۱
MgO	۱۴,۷۸	۱۴,۸۰	۱۴,۸۰	۱۵,۰۶	۱۵,۰۹	۱۵,۲۷	۱۵,۰۳	۱۵,۲۶	۱۴,۹۸	۱۴,۹۵
total	۱۰۰,۲۱	۱۰۰,۳۶	۱۰۰,۳۳	۱۰۰,۵۱	۱۰۰,۱۴	۱۰۰,۶۷	۱۰۰,۳۴	۱۰۰,۵۱	۹۹,۹۶	۱۰۰,۵۸

کاتیون‌ها بر اساس ۴ اکسیژن و Fe<sup>3+</sup> براساس معادله [۱۳] محاسبه شده است.

Al	۰,۶۲	۰,۶۲	۰,۶۳	۰,۶۲	۰,۶۳	۰,۶۲	۰,۶۳	۰,۶۲	۰,۶۳	۰,۶۳
Cr	۱,۲۷	۱,۲۷	۱,۲۶	۱,۲۷	۱,۲۷	۱,۲۷	۱,۲۷	۱,۲۶	۱,۲۶	۱,۲۷
Fe <sup>3+</sup>	۰,۰۹	۰,۰۹	۰,۰۹	۰,۰۹	۰,۰۸	۰,۰۹	۰,۰۸	۰,۰۸	۰,۰۹	۰,۰۸
Fe <sup>2+</sup>	۰,۳۱	۰,۳۱	۰,۳۱	۰,۳۰	۰,۳۰	۰,۲۹	۰,۳۱	۰,۲۹	۰,۳۰	۰,۳۱
Mg	۰,۶۸	۰,۶۸	۰,۶۸	۰,۶۹	۰,۶۹	۰,۶۹	۰,۶۹	۰,۶۹	۰,۶۹	۰,۶۸
Mg# <sup>۱</sup>	۶۸,۳۰	۶۸,۲۰	۶۸,۲۰	۶۹,۳۰	۶۹,۶۰	۷۰,۱۰	۶۹,۰۰	۷۰,۰۰	۶۹,۲۰	۶۸,۷۰
Cr# <sup>۲</sup>	۶۶,۹۰	۶۷,۰۰	۶۶,۶۰	۶۷,۰۰	۶۶,۸۰	۶۷,۰۰	۶۶,۸۰	۶۶,۶۰	۶۶,۵۰	۶۶,۶۰
Fe <sup>3+</sup> # <sup>۳</sup>	۴,۶۶	۴,۵۳	۴,۵۹	۴,۴۹	۴,۲۱	۴,۷۲	۴,۴۳	۴,۴۶	۴,۵۴	۴,۲۹

<sup>۱</sup>=Mg#[=100 Mg/(Mg+Fe<sup>2+</sup>)], <sup>۲</sup>=Cr#[=100 Cr/(Cr+Al)], <sup>۳</sup>=Fe<sup>3+</sup>#=[100 Fe<sup>3+</sup>/(Fe<sup>3+</sup>+Al+Cr)])

جدول ۲ نتایج آنالیز ریزکاوالکترونی کانی کرومیت در کرومیتیت‌های روستای کوچک.

	Kh-24	Kh-25	Kh-26	Kh-27	Kh-28	Kh-29	Kh-30	Kh-31	Kh-32	Kh-33
SiO <sub>2</sub>	۰,۰۱	۰,۰۱	۰,۰۲	۰,۰۰	۰,۰۱	۰,۰۱	۰,۰۲	۰,۰۲	۰,۰۱	۰,۰۲
TiO <sub>2</sub>	۰,۲۹	۰,۲۷	۰,۲۷	۰,۲۹	۰,۳۱	۰,۳۰	۰,۲۷	۰,۳۲	۰,۲۸	۰,۲۷
Al <sub>2</sub> O <sub>3</sub>	۱۳,۴۳	۱۳,۲۴	۱۳,۳۸	۱۳,۲۶	۱۳,۱۸	۱۳,۰۶	۱۳,۲۱	۱۲,۸۷	۱۲,۹۸	۱۳,۲۲
Cr <sub>2</sub> O <sub>3</sub>	۵۴,۶۲	۵۴,۵۴	۵۴,۵۵	۵۴,۵۴	۵۴,۲۰	۵۴,۶۲	۵۴,۲۳	۵۴,۷۰	۵۴,۷۵	۵۳,۵۴
FeO*	۱۸,۱۱	۱۸,۳۹	۱۸,۱۸	۱۸,۱۰	۱۸,۲۳	۱۸,۴۰	۱۸,۱۹	۱۸,۰۴	۱۸,۳۱	۱۸,۱۱
MnO	۰,۱۱	۰,۱۱	۰,۰۹	۰,۰۹	۰,۰۸	۰,۱۱	۰,۱۴	۰,۰۹	۰,۱۲	۰,۰۹
NiO	۰,۱۴	۰,۱۵	۰,۱۳	۰,۰۹	۰,۱۳	۰,۱۲	۰,۱۰	۰,۱۴	۰,۱۱	۰,۱۰
MgO	۱۳,۵۷	۱۳,۵۸	۱۳,۶۵	۱۳,۸۰	۱۲,۶۴	۱۳,۶۷	۱۳,۶۷	۱۲,۶۶	۱۳,۵۵	۱۳,۷۲
total	۱۰۰,۲۷	۱۰۰,۲۸	۱۰۰,۲۷	۱۰۰,۱۸	۹۹,۷۷	۱۰۰,۲۹	۹۹,۸۳	۹۹,۸۳	۱۰۰,۱۲	۹۹,۰۷

کاتیون‌ها بر اساس ۴ اکسیژن و Fe<sup>3+</sup> براساس معادله [۱۳] محاسبه شده است

Al	۰,۵۰	۰,۴۹	۰,۴۹	۰,۴۹	۰,۴۹	۰,۴۸	۰,۴۹	۰,۴۸	۰,۴۸	۰,۴۹
Cr	۱,۳۶	۱,۳۶	۱,۳۶	۱,۳۶	۱,۳۶	۱,۳۶	۱,۳۶	۱,۳۷	۱,۳۷	۱,۳۵
Fe <sup>3+</sup>	۰,۱۱	۰,۱۲	۰,۱۲	۰,۱۲	۰,۱۲	۰,۱۳	۰,۱۲	۰,۱۲	۰,۱۲	۰,۱۳
Fe <sup>2+</sup>	۰,۳۶	۰,۳۵	۰,۳۵	۰,۳۵	۰,۳۵	۰,۳۵	۰,۳۵	۰,۳۵	۰,۳۶	۰,۳۴
Mg	۰,۶۴	۰,۶۴	۰,۶۴	۰,۶۵	۰,۶۴	۰,۶۴	۰,۶۴	۰,۶۴	۰,۶۴	۰,۶۵
Mg# <sup>۱</sup>	۶۳,۹۰	۶۴,۱۰	۶۴,۳۰	۶۴,۹۰	۶۴,۵۰	۶۴,۵۰	۶۴,۶۰	۶۴,۶۰	۶۴,۰۰	۶۵,۲۰
Cr# <sup>۲</sup>	۷۳,۲۰	۷۳,۴۰	۷۳,۲۰	۷۳,۴۰	۷۳,۴۰	۷۳,۷۰	۷۳,۴۰	۷۴,۰۰	۷۳,۹۰	۷۳,۱۰
Fe <sup>3+</sup> # <sup>۳</sup>	۵,۹۶	۶,۴۵	۶,۲۲	۶,۴۲	۶,۴۸	۶,۶۲	۶,۵۱	۶,۳۳	۶,۳۶	۶,۸۲

۱ و ۲ و ۳ مشابه جدول ۱ می‌باشد.

جدول ۳ نتایج آنالیز ریزپردازش الکترونی کانی کرومیت در کرومیت‌های افshan قشلاق.

	Gh-1	Gh-2	Gh-3	Gh-4	Gh-5	Gh-6	Gh-7	Gh-8
SiO <sub>2</sub>	۰,۰۱	۰,۰۱	۰,۰۰	۰,۰۱	۰,۰۰	۰,۰۰	۰,۰۰	۰,۰۰
TiO <sub>2</sub>	۰,۱۵	۰,۱۴	۰,۱۴	۰,۱۲	۰,۱۸	۰,۱۴	۰,۱۳	۰,۱۵
Al <sub>2</sub> O <sub>3</sub>	۳۳,۹۶	۳۴,۱۱	۳۳,۹۷	۳۳,۷۰	۳۴,۲۱	۳۳,۹۵	۳۴,۰۰	۳۴,۰۱
Cr <sub>2</sub> O <sub>3</sub>	۳۴,۳۵	۳۴,۸۵	۳۴,۸۵	۳۴,۷۲	۳۴,۴۵	۳۴,۴۵	۳۴,۳۴	۳۴,۷۸
FeO	۱۳,۱۵	۱۳,۲۲	۱۲,۹۲	۱۳,۱۳	۱۳,۱۳	۱۳,۳۶	۱۲,۴۹	۱۳,۴۲
MnO	۰,۰۵	۰,۰۷	۰,۰۵	۰,۰۶	۰,۰۵	۰,۰۵	۰,۰۴	۰,۰۷
NiO	۰,۲۳	۰,۲۱	۰,۲۳	۰,۲۳	۰,۱۹	۰,۲۳	۰,۲۲	۰,۲۱
MgO	۱۸,۳۳	۱۶,۷۶	۱۸,۴۵	۱۸,۲۶	۱۸,۳۷	۱۷,۹۲	۱۷,۹۷	۱۸,۲۰
total	۱۰۰,۲۳	۹۹,۳۷	۱۰۰,۶۱	۱۰۰,۲۳	۱۰۰,۵۸	۱۰۰,۰۹	۱۰۰,۲۰	۱۰۰,۸۵

کاتیون‌ها بر اساس  $\text{Fe}^{3+}$  اکسیژن و  $\text{Fe}^{3+}$  براساس معادله [۱۳] محاسبه شده است

Al	۱,۱۳	۱,۱۵	۱,۱۳	۱,۱۲	۱,۱۳	۱,۱۳	۱,۱۳	۱,۱۳
Cr	۰,۷۶	۰,۷۹	۰,۷۷	۰,۷۷	۰,۷۶	۰,۷۷	۰,۷۷	۰,۷۷
Fe <sup>3+</sup>	۰,۰۸	۰,۰۴	۰,۰۸	۰,۰۸	۰,۰۸	۰,۰۸	۰,۰۸	۰,۰۸
Fe <sup>2+</sup>	۰,۲۲	۰,۲۷	۰,۲۲	۰,۲۲	۰,۲۲	۰,۲۳	۰,۲۳	۰,۲۳
Mg	۰,۷۷	۰,۷۲	۰,۷۷	۰,۷۷	۰,۷۷	۰,۷۶	۰,۷۶	۰,۷۶
Mg# <sup>۱</sup>	۷۷,۷۰	۷۲,۲۰	۷۷,۹۰	۷۷,۶۰	۷۷,۵۰	۷۶,۳۰	۷۶,۴۰	۷۶,۹۰
Cr# <sup>۲</sup>	۴۰,۴۰	۴۰,۷۰	۴۰,۸۰	۴۰,۹۰	۴۰,۳۰	۴۰,۵۰	۴۰,۴۰	۴۰,۷۰
Fe <sup>3+</sup> # <sup>۳</sup>	۴,۴۸	۲,۰۹	۴,۲۶	۴,۴۲	۴,۲۶	۴,۰۹	۴,۲۵	۴,۳۲

۱ و ۲ و ۳ مشابه جدول ۱ می‌باشد.

جدول ۴ نتایج آنالیز ریز پردازش الکترونی کانی کرومیت در کرومیت‌های افshan بروژوک. سه نمونه آخر به کرومیت‌های موجود وابسته‌اند در هارزبورزیت‌ها می‌باشد.

	Kh-13	Kh-14	Kh-15	Kh-16	Kh-17	Kh-18	Kh-19	Kh-20	Hz-1	Hz-2	Hz-3
SiO <sub>2</sub>	۰,۰۲	۰,۰۳	۰,۰۱	۰,۰۰	۰,۰۱	۰,۰۳	۰,۰۰	۰,۰۰	۰,۰۱	۰,۰۱	۰,۰۲
TiO <sub>2</sub>	۰,۴۳	۰,۴۰	۰,۴۴	۰,۴۵	۰,۴۲	۰,۴۳	۰,۴۴	۰,۴۱	۰,۴۰	۰,۴۳	۰,۴۸
Al <sub>2</sub> O <sub>3</sub>	۲۱,۱۷	۲۱,۴۷	۲۰,۹۳	۲۰,۹۶	۲۱,۲۷	۲۱,۳۵	۲۱,۳۰	۲۱,۰۷	۲۸,۱۱	۲۸,۰۸	۲۷,۹۲
Cr <sub>2</sub> O <sub>3</sub>	۴۳,۷۴	۴۳,۲۳	۴۳,۷۵	۴۴,۰۵	۴۲,۹۵	۴۲,۵۳	۴۲,۸۵	۴۴,۵۳	۲۴,۰۵	۳۴,۵۶	۳۴,۶۲
FeO*	۲۰,۲۶	۱۹,۹۰	۲۰,۰۷	۲۰,۳۶	۲۰,۳۳	۲۰,۱۳	۲۰,۰۸	۲۰,۱۰	۲۴,۶۰	۲۴,۷۰	۲۴,۷۰
MnO	۰,۱۱	۰,۱۳	۰,۱۰	۰,۱۲	۰,۱۱	۰,۱۰	۰,۱۰	۰,۱۰	۰,۱۵	۰,۱۶	۰,۱۸
NiO	۰,۱۵	۰,۱۶	۰,۱۵	۰,۲۰	۰,۲۰	۰,۱۹	۰,۲۰	۰,۱۹	۰,۱۰	۰,۱۲	۰,۱۴
MgO	۱۴,۴۴	۱۴,۵۶	۱۴,۳۳	۱۴,۱۹	۱۴,۳۳	۱۲,۹۶	۱۴,۴۹	۱۴,۴۶	۱۱,۷۰	۱۱,۸۳	۱۱,۶۲
total	۱۰۰,۳۰	۹۹,۸۸	۹۹,۷۹	۱۰۰,۳۳	۹۹,۶۲	۹۸,۷۳	۱۰۰,۴۵	۱۰۰,۸۸	۹۹,۰۰	۱۰۰,۰۰	۱۰۰,۰۰

کاتیون‌ها بر اساس  $\text{Fe}^{3+}$  اکسیژن و  $\text{Fe}^{3+}$  براساس معادله [۱۳] محاسبه شده است

Al	۰,۷۵	۰,۷۷	۰,۷۵	۰,۷۵	۰,۷۶	۰,۷۸	۰,۷۶	۰,۷۵	۱,۰۰	۱,۰۰	۰,۹۹
Cr	۱,۰۵	۱,۰۴	۱,۰۵	۱,۰۶	۱,۰۴	۱,۰۷	۱,۰۵	۱,۰۶	۰,۸۱	۰,۸۲	۰,۸۳
Fe <sup>3+</sup>	۰,۱۶	۰,۱۶	۰,۱۶	۰,۱۶	۰,۱۷	۰,۱۲	۰,۱۶	۰,۱۶	۰,۱۵	۰,۱۵	۰,۱۴
Fe <sup>2+</sup>	۰,۳۴	۰,۳۴	۰,۳۵	۰,۳۵	۰,۳۴	۰,۴۰	۰,۳۴	۰,۳۴	۰,۴۷	۰,۴۷	۰,۴۷
Mg	۰,۶۵	۰,۶۶	۰,۶۵	۰,۶۴	۰,۶۵	۰,۶۰	۰,۶۵	۰,۶۵	۰,۵۳	۰,۵۳	۰,۵۳
Mg# <sup>۱</sup>	۶۵,۳۰	۶۶,۱۰	۶۵,۲۰	۶۶,۴۰	۶۵,۳۰	۶۰,۰۰	۶۵,۵۰	۶۵,۲۰	۵۳,۰۰	۵۳,۱۰	۵۲,۴۰
Cr# <sup>۲</sup>	۵۸,۱۰	۵۷,۵۰	۵۸,۴۰	۵۸,۵۰	۵۷,۵۰	۵۷,۸۰	۵۸,۰۰	۵۸,۶۰	۴۴,۸۰	۴۵,۲۰	۴۵,۴۰
Fe <sup>3+</sup> # <sup>۳</sup>	۸,۴۵	۸,۴۴	۸,۳۰	۸,۲۴	۸,۷۴	۶,۱۹	۸,۲۸	۸,۱۲	۷,۸۰	۷,۷۷	۷,۵۴

۱ و ۲ و ۳ مشابه جدول ۱ می‌باشد.

همچون فرآیندهای سرپانتینی شدن، موجب ترکهایی در دانه‌های کرومیت شده و این ترکها با سرپانتین پر شده‌اند (پدیده‌ی گسیختن). ابعاد رگچه‌های سرپانتین همراه با دانه‌های کرومیت متغیر بوده و از چند میکرون تا در مواردی تا حدود ۵۰ میکرون تغییر می‌کنند. بافت و ساخت نواری از دیگر بافت‌های اولیه‌ی ماقمایی در کرومیتیت‌های ناحیه‌ی خوی است (شکل ۲ ت). این بافت از تکرار لایه‌های کرومیت با کانی‌های سیلیکاتی به دست می‌آید. در این حالت فازهای اکسیدی و سیلیکاتی از هم‌دیگر جدا شده و تشکیل لایه‌های مجزا را می‌دهند. در بیشتر موارد، میان لایه‌های سرشار از کرومیت، بافت افshan نشان می‌دهند. بنابراین به نظر می‌رسد که بر هم‌کنش گدازه- سنگ، جدایش و تبلور کرومیت و اختلاط ماقمایی منجر به نوسانهای زیادی در ترکیب گدازه می‌شود که هم کرومیت‌های توده‌ای و نیز کرومیت‌های افshan را تولید می‌کند و هم فازهای لایه‌ای موجود در داخل مجموعه‌های انبانه‌ای را به وجود می‌آورد [۷]. بافت‌های کاتالاستی، میلونیتی و گسیختگی از بافت‌های ثانویه است که به فراوانی در کرومیت‌های ناحیه مشاهده می‌شوند (شکل‌های ۳ الف و ب). این بافت‌ها بطور کلی به فرایند سرپانتینی شدن واپسیت بوده و در مراحل پس از پیدایش کرومیت‌ها، بیشتر در مراحل جایگیری توده‌های اولترامافیک میزان در مناطق زمین‌ساختی فعال و پس از آن تشکیل شده‌اند. بافت جدایشی یا کششی از بافت‌های ثانویه به ویژه در کرومیت‌های با بافت گرهگی و افshan است.

رخدادهای کرومیتی منطقه‌ی اللد همراه با پوشش دونیتی و سنگ میزان هارزبورزیتی تحت تاثیر فرایند سرپانتینی شدن قرار گرفته‌اند. در مقاطع نازک، بافت غالب سنگ‌های میزان غربالی و شبکه‌ای است، به‌گونه‌ای که بقایای کوچکی از الیوین اولیه به صورت سالم در زمینه‌ای از سرپانتین به شکل جزیره‌ای حفظ شده‌اند (شکل ۳ ب)، از نظر مجموعه کانیایی، هارزبورزیت‌ها شامل الیوین (بطور عمدۀ سرپانتینی شده)، ارتوبیروکسن (بیشتر به صورت بلورهای شکل‌دار تا نیمه شکل‌دار) و اندکی کلینوبیروکسن است. کانی پیروتیت و کرومیت نیز به عنوان کانی‌های فرعی حضور دارند. ابعاد بلورهای ارتوبیروکسن و الیوین حداقل سه میلی متر بوده، ولی ابعاد بلورهای ارتوبیروکسن (از نوع برونزیت، [۱۱]) در برخی موارد به یک سانتی‌متر نیز می‌رسد. فراوانی کانی‌های الیوین و ارتوبیروکسن در این سنگ‌ها به ترتیب ۷۰-۶۵ و ۲۰-۲۵ درصد و مقدار کلینوبیروکسن کمتر از سه درصد است. در مواردی که فرایند سرپانتینی شدن گسترش کامل یافته، اثری

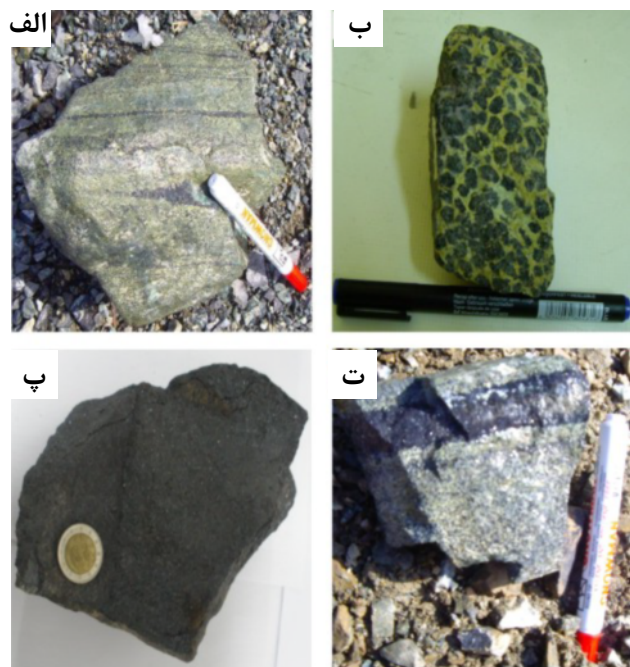
### سنگ نگاری

ذخایر کرومیتی بیشتر خاستگاه ماقمایی داشته و با فرایندهای تبلور و تهشیینی از ماقماها و بستگی مستقیم دارند. یکی از مهمترین کلیدهای پی جویی کانسارهای کرومیت، بررسی بافت و ساختهای موجود در این کانسارهاست. به طور کلی بافت و ساختهای موجود را می‌توان به دو گروه اولیه و ثانویه تقسیم کرد [۱۱]. بافت و ساختهای اولیه، بافت‌هایی هستند که همزمان با تشکیل کانسار، با خاستگاه ماقمایی به وجود آمده‌اند. این بافت‌ها تحت تاثیر فرآیندهای تغییر شکل پلاستیک که پس از تشکیل کانسارهای کرومیت رخ می‌دهند، دستخوش تغییرات زیادی شده و به گروه بافت و ساختهای ثانویه تبدیل می‌شوند. از مهمترین بافت و ساختهای اولیه در کرومیت‌های خوی می‌توان به انواع افshan، گرهگی، توده‌ای و لایه‌ای (نواری) و از بافت و ساختهای ثانویه به انواع کششی، کاتالاستیک و میلونیتی اشاره کرد.

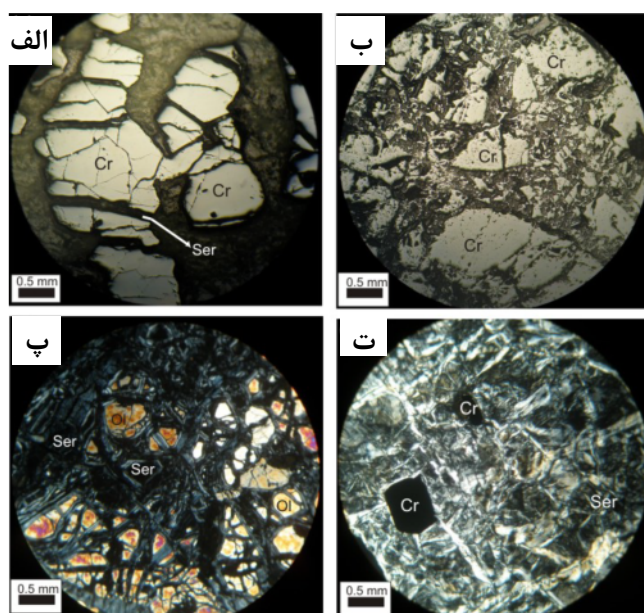
در کرومیت‌های افshan، ۲۵-۸۰ درصد سنگ یا نمونه از دانه‌های کرومیت تشکیل شده به طوری که این دانه‌ها به صورت یکنواخت بین کانی‌های سیلیکاتی (بیشتر الیوین و کمتر ارتوبیروکسن) پراکنده‌اند (شکل ۲ الف). ابعاد دانه‌های کرومیت در این کانسنهای بیشتر در گستره‌ی ۴۰۰ تا ۲۰۰ میکرون است. کانی‌های سیلیکاتی در اندازه‌های گوناگون بسیار ریز (۱۰ تا ۳۰ میکرون) تا درشت (حدود ۱۰۰ تا ۰۵ میلی متر) و نیز به صورت میانبارهای بی‌شکل درون بلورهای کرومیت دیده می‌شوند. اگرچه این کانی‌ها با درجه‌های مختلف به سرپانتین تبدیل شده‌اند ولی با توجه به صورت شبه ریختهای بر جا مانده، به نظر می‌رسد الیوین فاز اصلی طی سرپانتینی شدن بوده است. به طور کلی از کرومیت‌های افshan به کرومیت‌های گرهگی (شکل ۲ ب) و سپس به کرومیت‌های توده‌ای (شکل ۲ ب) میزان کرومیت بیشتر شده و اندازه‌ی دانه‌ها بزرگتر می‌شود. بافت توده‌ای از فراوان‌ترین بافت‌های اولیه‌ی ماقمایی در کرومیت‌های منطقه است. این بافت از انباسته شدن دانه‌های کم و بیش درشت کرومیت تشکیل شده است که مقادیر کمی از کانی‌های سیلیکاتی و غیر سیلیکاتی (شامل مگنتیت و پیروتیت) را در خود جای داده است. تبلور و تهشیینی بلورهای کرومیت (بیش از ۹۰ درصد از حجم سنگ)، سبب انباسته لایه‌های سرشار از کرومیت می‌شود که در این صورت سنگ حاصل کرومیتیت خوانده می‌شود [۱۴]. در کانسنهای توده‌ای، بلورهای درشت دانه کرومیت با بافت موزاییکی فشرده بیش از ۸۰٪ سطح مقطع را تشکیل می‌دهند. ابعاد این بلورها از ۱ تا ۳۰ میلی‌متر متغیر است. دگرگلایهای پس از تبلور کرومیت‌ها

از کرومیت‌های دگرسان هستند. در برخی از نمونه‌ها، دانه‌های کرومیت به شکل جدا از هم به صورت بلورهای شکل دار تا نیمه شکل دار با کانی‌های سوزنی یا رشته‌ای سرپانتین به طور کامل دربرگرفته شده‌اند (شکل ۳ ت).

از الیوین به چشم نمی‌خورد و کل سنگ از سرپانتین (بیشتر آنتیگوریت) تشکیل شده است. در برخی موارد نیز رگجه‌های کربناتی (منیزیت) در سنگ یافت می‌شود. کرومیت و سرپانتین کانی‌های اصلی و هم‌میت و مگنتیت کانی‌های ثانویه و حاصل

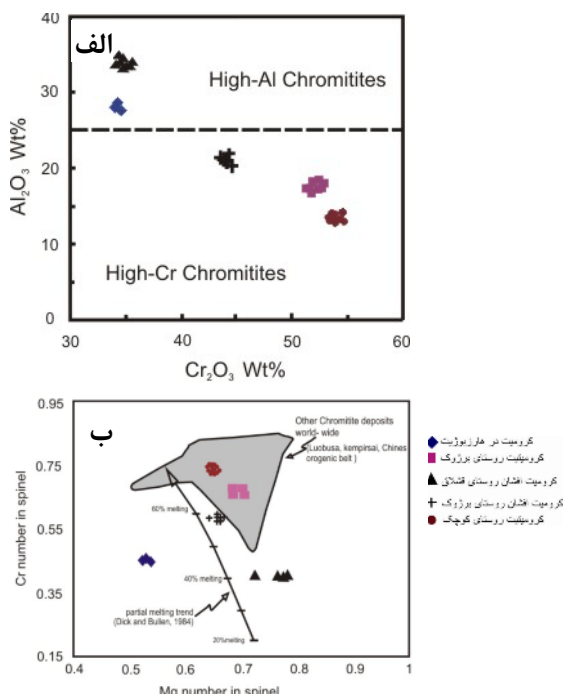


شکل ۲ بافت‌های اولیه در نمونه‌های دستی (الف) بافت افشارن (پراکنده) که در بعضی جاهای به بافت نواری تبدیل شده است (ب) بافت گرهکی (نودولار)، پ) بافت توده‌ای (متراکم) ت) بافت نواری در کانسنسنگ کرومیت و تبدیل لایه‌های کرومیت به لایه‌های سیلیکاتی.



شکل ۳ (الف) گسترش شکستگی‌های ریز در دانه‌های کرومیت (Cr) ناشی از بافت کششی که در بیشتر موارد با سرپانتین (Ser) پر شده‌اند (Pull Apart Texture)، نور بازتابی. (ب) بافت ثانویه کاتاکلاستی در کرومیت‌های با بافت توده‌ای، نور بازتابی. (پ) بافت غربالی ناشی از گسترش فرآیند سرپانتینی شدن در بلورهای الیوین (Ol)، نور عبوری. (ت) بلورهای یوهدرال کرومیت در یک زمینه سرپانتینی شده از سنگ هارزبورژیت، نور عبوری.

های هارزبورژیت‌ها دارای مقادیر بالایی از  $\text{Al}_2\text{O}_3$  بوده و از این رو از نوع آلومینیم بالا به شمار می‌آیند (شکل ۴ الف). رزو و همکاران [۱۶] تشکیل کانسارهای کرومیت انبانهای را نتیجه‌ی ذوب بخشی گوشه‌هایی بالایی دانسته‌اند. این پژوهشگران معتقد‌اند که کرومیت‌های غنی از کروم از مagmaهایی به وجود آمده‌اند که این magmaها از ذوب بخشی با درجه‌ی بالای گوشه‌هایی بالایی حاصل شده‌اند، در حالیکه کرومیت‌های غنی از آلومینیوم وابسته به magmaهایی هستند که از ذوب بخشی با درجه‌ی پایین گوشه‌ی بالایی به وجود آمده‌اند. چنانکه در نمودار #Cr نسبت به Mg مشاهده می‌شود (شکل ۴ ب) هرچقدر درجه‌ی ذوب بخشی بیشتر می‌شود میزان  $\text{Cr}_2\text{O}_3$  و #Cr افزایش می‌یابد. #Cr همبستگی مشتبی با درجه‌ی ذوب بخشی دارد به گونه‌ای که کرومیت‌ها با افزایش درجه‌ی تهی شدگی سرشار از کروم هستند [۱۶, ۱۷]. (شکل ۴ ب) نشان می‌دهد که کرومیت‌های منطقه‌ی قشلاق در مقایسه با کرومیت‌های منطقه‌ی الند در درجات پایین‌تری از ذوب بخشی ایجاد شده‌اند در این نمودار نیز مقایسه‌ای بین این کرومیت‌ها و کرومیت‌های الند (برزوک و روستای کوچک) از نوع کروم بالا محسوب می‌شوند و با کرومیت‌های دیگر جهان هم‌خوانی دارند، این نمودار نیز تایید دیگری بر ویژگی کروم بالای نمونه‌های مورد بررسی است (شکل ۴ ب).



شکل ۴ موقعیت کرومیت‌های مورد بررسی (الف) در نمودار  $\text{Cr}_2\text{O}_3/\text{Al}_2\text{O}_3$  نسبت به #Cr و ارتباط آن با پریدوتیت‌های گوشه‌ای [۱۸].

### ترکیب شیمیایی

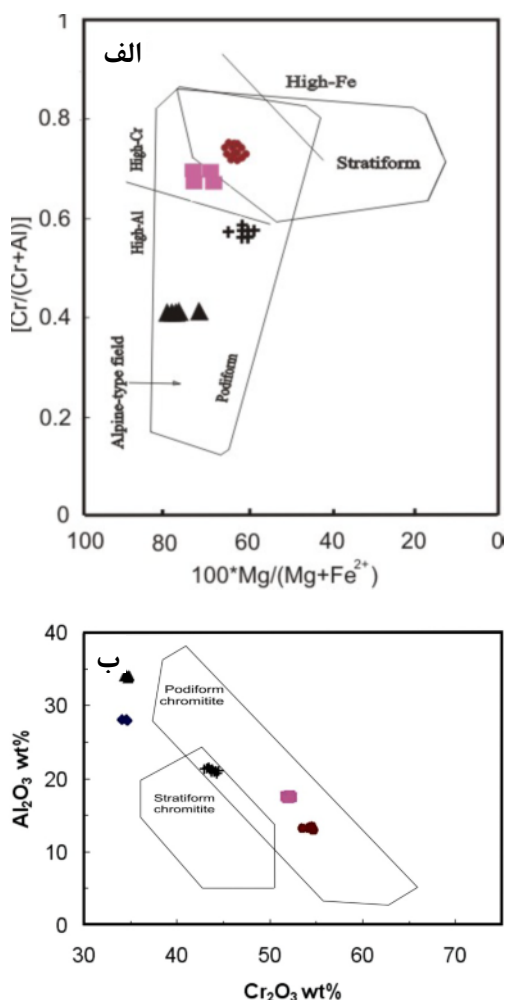
برای بررسی ترکیب شیمیایی کرومیت‌ها تعداد ۳۹ نقطه کرومیت از ۶ مقطع نازک-صیقلی به روش ریزپردازشی تجزیه-شیمیایی نقطه‌ای شدند. از این میان تعداد ۳۱ مورد به کرومیت‌های منطقه‌ی الند و ۸ مورد نیز به کرومیت‌های منطقه‌ی قشلاق تعلق داشتند. برپایه‌ی نتایج به دست آمده مقدار  $\text{Cr}_2\text{O}_3$  کرومیت‌های منطقه‌ی الند در گسترده‌ی ۵۴/۷۵ درصد وزنی تغییر می‌کند. میانگین  $\text{Al}_2\text{O}_3$  در کرومیت-های منطقه‌ی الند ۱۷/۳۹ و در کرومیت‌های منطقه‌ی قشلاق حدود ۳۴/۶۰ درصد وزنی است.  $\text{FeO}$  در کرومیت‌های الند بین ۱۱/۶۲-۱۵/۴۲ درصد وزنی و  $\text{Fe}_2\text{O}_3$  آنها بین ۳/۶۲-۸/۷۹ درصد وزنی تغییر می‌کند (جدول‌های ۱-۴). میانگین #Cr و Mg در کرومیت‌های الند (برزوک و کوچک) به ترتیب ۶۶/۱۱ و ۶۶/۱۸ است.

بلانک و ویولیتی [۱۵] با در نظر گرفتن محتوای  $\text{Cr}_2\text{O}_3$  و  $\text{Al}_2\text{O}_3$  در ترکیب کرومیت‌های انبانی، آنها را به انواع کروم بالا ( $\text{Cr}_2\text{O}_3 = ۴۵-۶۰\%$ ) و آلومینیم بالا ( $\text{Al}_2\text{O}_3 > ۲۵\%$ ) (Rده-بندی کردند. با توجه به میزان  $\text{Cr}_2\text{O}_3$  کرومیت‌های منطقه‌ی الند (روستاهای برزوک و کوچک)، (۵۱/۲-۵۴/۷۵ درصد وزنی) و نیز عدد کروم آنها (با میانگین ۶۶/۱۱ درصد) می‌توان گفت که این کرومیت‌ها از نوع کروم بالا هستند. برخلاف آن، کرومیت‌های منطقه‌ی قشلاق و میانبارهای کرومیت در کانی-

اتمی  $\text{Al}^{+3}$  به جای  $\text{Cr}^{+3}$  در شبکه‌ی ساختاری کرومیت‌هاست، چنانکه با افزایش مقادیر  $\text{Cr}^{+3}$  از مقادیر  $\text{Al}^{+3}$  کاسته می‌شود و بر عکس (شکل ۵ ب، [۱۹]).

به طور کلی کرومیت‌های با کروم بالا نسبت به کرومیت‌های آلومینیوم بالا بیشتر از تیتانیوم تهی شده‌اند که این امر می‌تواند نشانه‌ی خروج بیشتر تیتانیوم در طول ذوب بخشی با درجه‌ی بالاتر گوشتی‌ای بالایی باشد [۲۱،۰۲]. مقادیر  $\text{TiO}_2$  در کرومیت‌های مناطق الند و قشلاق پایین (میانگین  $\text{TiO}_2$  برابر  $0.26 \pm 0.02$  درصد) است، پایین بودن مقدار  $\text{TiO}_2$  یکی از ویژگی‌های کرومیت‌های انبانی و وجه تمایز آنها با انواع چینه سان است، به طوری که مقدار آن در کرومیت‌های انبانی نقاط دیگر دنیا کمتر از  $0.3$  درصد گزارش شده است. برخی از کرومیت‌ها مانند کرومیت‌های روسنای کوچک دارای  $\text{TiO}_2$  نسبتاً بالایی است که به واکنش بین گوشه و ماجما نسبت داده می‌شود.

در نمودار عدد کروم نسبت به عدد منیزیم (شکل ۵ الف) ترکیب کرومیت‌های روسنای کوچک در گستره‌ی کرومیت‌های چینه‌سان (Stratiform) و انبانه‌ای (Alpine-type field) و برزوک در گستره‌ی برزوک، کرومیت‌های افسان قشلاق و برزوک در گستره‌ی کرومیت‌های انبانه‌ای قرار می‌گیرند. همچنین کرومیت‌های موجود در هارزبورزیتها از نوع Residual بوده و انبانی نیستند. بنابراین نمودار همه‌ی کرومیت‌های موجود در افیولیت‌های خوی در گستره‌ی کرومیت‌های نوع آلبی قرار می‌گیرند. همچنین در این نمودار رده‌بندی ترکیب کرومیت‌ها بر اساس مقدار  $\text{Cr}^{\#}$  و  $\text{Mg}^{\#}$  به سه رده‌ی آلومینیوم بالا، کروم بالا و آهن بالا آورده شده‌اند [۸] که گفته‌های بالا را تایید می‌کند (شکل ۵ الف). کرومیت‌های منطقه‌ی الند (برزوک و کوچک) در نمودار  $\text{Cr}_2\text{O}_3$  نسبت به  $\text{Al}_2\text{O}_3$  نیز در گستره‌ی کرومیت‌های انبانه‌ای قرار می‌گیرند. در این نمودار بین محتوای  $\text{Cr}_2\text{O}_3$  و  $\text{Al}_2\text{O}_3$  همبستگی منفی وجود دارد، چنین ارتباطی گویای جانشینی



شکل ۵ ترکیب کرومیت‌های افیولیت خوی (الف) در نمودار  $\text{Cr}^{\#}$  نسبت به  $\text{Mg}^{\#}$  [۱۸] و مقایسه ترکیب کرومیت‌ها با انواع کرومیت‌های  $\text{Al}$ ،  $\text{Cr}$  بالا بر اساس نمودار [۶، ب) در نمودار  $\text{Cr}_2\text{O}_3$  نسبت به  $\text{Al}_2\text{O}_3$  [۱۹]، عالم مشابه شکل ۴ هستند.

(SSZ) از پشتهدای میان اقیانوسی (MORB) ارائه شده است، در گسترهی زون چندفرورانشی قرار می‌گیرند. کرومیت‌های افشار برزوک و کرومیت‌های داخل هارزبورژیت‌ها و کرومیت‌های افشار قشلاق در گسترهی همپوشی بین زون چندفرورانشی و مورب قرار می‌گیرند. در این نمودار، ترکیب کرومیت‌ها با اسپینل‌های حوضه‌های پشت قوسی، جریان بازالت‌های قاره‌ای (LIP)، بازالت‌های جزایر اقیانوسی (OIB)، بازالت‌های پشتهدای میان اقیانوسی (MORB) و سری جزایر کمانی نیز مقایسه شده‌اند (شکل ۶ ب).

#### برداشت

۱- شواهد صحرایی (مثل شکل، ساخت و بافت) و ترکیب شیمیایی کرومیت‌ها نشان می‌دهد که ذخایر ناحیه‌ی خوی از نوع کرومیت‌های انبائی بوده و ترکیب آنها مشابه کرومیت‌های نوع آلپی است.

۲- به طور معمول توده‌های کرومیتی ناحیه را پوششی دونیتی سرپانتینی شده در برگرفته و این بخش خود به وسیله‌ی سنگ‌های با ترکیب هارزبورژیتی احاطه شده است.

۳- از مهمترین بافت و ساختهای اولیه کرومیت‌های خوی را می‌توان به انواع افشار، گرهکی، توده‌ای و لایه‌ای (نوواری) و بافت و ساختهای ثانویه به انواع کششی، کاتاکلاستیک و میلدونیتی نسبت داد.

۴- افزایش میزان کروم در کرومیت‌ها ارتباط مستقیمی با درجه‌ی گداخت بخشی دارد، به گونه‌ای که کرومیت‌های با کروم بالا نسبت به کرومیت‌های با آلومینیوم بالا دارای خاستگاه گوشته‌ای تهی شده‌تری هستند.

۵- کرومیت‌های منطقه‌ی الند از نوع Cr بالا بوده و از یک ماقمای بونینیتی و در محیط چندفرورانشی تولید شده‌اند، در حالیکه کرومیت‌های قشلاق از نوع Al بالا بوده و از یک ماقمای تولئیتی مشابه مورب تولید شده‌اند. کرومیت‌های موجود در هارزبورژیت‌ها حاصل آلودگی ماقمایی هستند.

#### تشکر و قدردانی

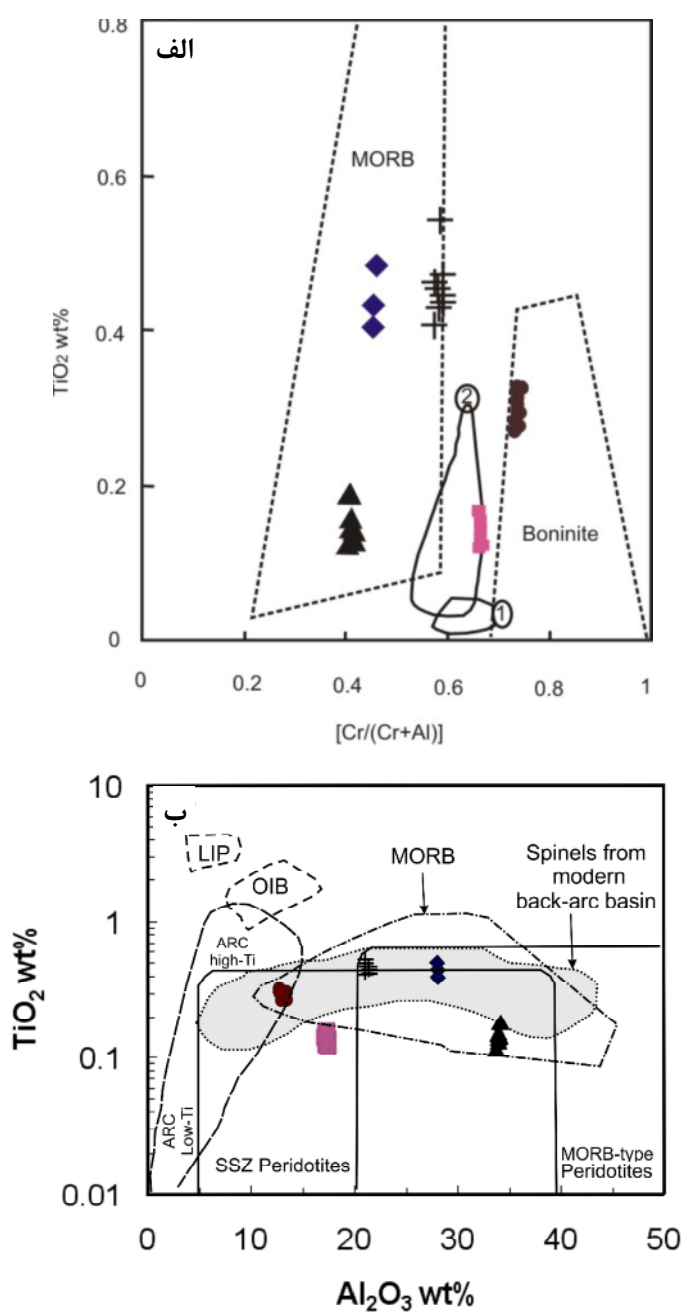
بخشی از هزینه‌های این پژوهش از محل اعتبار حوزه‌ی معاونت محترم پژوهشی دانشگاه تهران در قالب طرح پژوهشی کانی شناسی و پیدایش کرومیت برزوک در مجموعه‌ی افیولیتی خوی به شماره‌ی ۶۰۱۴/۶۰۲۶ ک. تامین شده است که بدین وسیله از آن معاونت محترم تقدیر و تشکر می‌شود.

#### محیط تشکیل کرومیت‌ها

شمی کانی کرومیت و سیلیکات‌های همراه آنها و نیز درجه‌ی تبلورشان معیاری ارزشمند برای شناسایی شرایط تشکیل و ترکیب گدازه‌ی مادر آنهاست و می‌تواند به عنوان شاخصی برای شناسایی خاستگاه ماقماً و تشخیص محیط‌های زمین ساختی مختلف استفاده شود. با توجه به نمودار  $TiO_2$  نسبت به [Cr/(Cr + Al)] در گسترهی بونینیتی جای گرفته‌اند در حالیکه کرومیت‌های Al بالا (کرومیت‌های افشار قشلاق و برزوک و کرومیت‌های موجود در هارزبورژیت‌ها) در گسترهی مورب قرار گرفته‌اند (شکل ۶ الف). ویژگی‌های ماقمای بونینیتی  $SiO_2$  بالا (بیش از ۵۵ درصد)، MgO بالا (بیش از ۹ درصد) و  $TiO_2$  پایین (کمتر از ۳ درصد) است که معمولاً در فشار پایین (کمتر از ۵۰ کیلومتر) و در محیط‌های بالای زون فرورانش ایجاد می‌شوند [۲۴].

بررسی‌های کرومیت‌های انباهی در افیولیت‌های گوناگون نظیر ترودوس (قبرس) و عمان، گویای آن است که انباهی کرومیت این انباهه‌ها در بردارنده‌ی کانی‌ها و آبگون‌های سرشار از مواد فرار و قلیایی‌اند. فراوانی آبگون‌های درگیر و کانی‌های آبدار در انباهی کرومیت نشانه‌ی آن است که ماقمای مادر آنها، در بردارنده‌ی آب بالایی بوده است و در حقیقت بیانگر این است که چنین کرومیت‌هایی در مناطق بالای زون فرورانش پدید آمده‌اند [۶]. در زیر جزایر قوسی به دلیل بالا بودن میزان مواد فرار وارد شده از لبه‌ی فرورونده به داخل گوهی گوشته‌ای، درجه‌ی ذوب بخشی بالاست. در چنین شرایطی کرومیت با کروم بالا تشکیل خواهد شد. در مراکز گسترش با سرعت کم، نظیر حوضه‌های پشت قوسی، شرایط دیگری حاکم است. در برخی از حوضه‌های پشت قوس، گوشته از نوع MORB بوده و با گوشته میان اقیانوسی یکسان است. بنابراین به همین دلیل است که در اکثر حوضه‌های پشت قوس، بازالت‌هایی همانند اکثر پشتهدای میان اقیانوسی ایجاد شد و در نتیجه درجه‌ی ذوب بخشی پایین‌تر است. درجات پایین، ذوب بخشی ماقمایی به وجود می‌آورد که از آن کرومیت‌های آلومینیوم بالا تبلور خواهند یافت [۳].

ترکیب کرومیت‌های الند در نمودار تغییرات  $TiO_2$  نسبت به  $Al_2O_3$  که برای تمایز گسترهای زون چندفرورانشی



شکل ۶ (الف) نمودار  $\text{TiO}_2 (\text{wt\%})$  نسبت به  $\text{Cr}/(\text{Cr}+\text{Al})$  [۲۲] و مقایسه آن با کرومیت‌های افیولیت‌های ترودوس (۱) و کرومیت‌های انبانه‌ای یوسته‌بالایی افیولیت عمان (۲) [۲۳]. (ب) نمودار  $\text{TiO}_2$  نسبت به  $\text{Al}_2\text{O}_3$  [۲۵، ۲۴]. علامت مشابه شکل ۴ هستند.

*investigations on the Khoy ophiolites and related formations, NW Iran", Journal of Asian Earth Sciences 23(2004) 507-535.*

[3] Zhou M.F., Sun M., Keays R.R., Kerrich R.W., "Controls on platinum-group elemental distributions of podiform chromitites: a case study of high-Cr and high-Al chromitites from Chinese orogenic belts", *Geochimica et Cosmochimica Acta* 62(1998) 677-688.

#### مراجع

- [1] Hassanipak A.A., Ghazi A.M., "Petrology, geochemistry and tectonic setting of the Khoy ophiolite, northwest Iran; implications for Tethyan tectonics", *Journal of Asian Earth Sciences* 18(2000) 109-121.
- [2] Khalatbari-jafari M., Juteau T., Bellon H., Whitechurch H., Cotton Jo., Emami H., "New geological, geochronological and geochemical

- pods in ophiolite peridotites", Economic . Geology* 78 (1983) 293-301.
- [16] Dike H.J. B., Bullen T., "Chromian spinel as a petrogenetic indicator in abyssal and alpine - type pridotites and spatially associated lavas", Contribution to Mineralogy and Petrology 86 (1984) 54-76.
- [17] Ismail S.A., Mirza T.M., Carr P.F., "Platinum-group elements geochemistry in podiform chromitites and associated peridotites of the Mawat ophiolite, northeastern Iraq", Journal of Asian Earth Sciences(2009) 1-11.
- [18] Büchl A., Brügmann G., Batanova V.G., "Formation of podiform chromitite deposits: implications from PGE abundances and Os isotopic compositions of chromites from the Troodos complex, Cyprus", Chemical Geology 208(2004) 217– 232.
- [19] Bonavia F.F., Diella V., Ferrario A., "Precambrian podiform chromitites from Kenticha Hill, southern Ethiopia", Economic Geology 88(1993) 198–202.
- [20] Jan M.Q., Windley B.F., "Chromian spinel-silicate chemistry in ultramafic rocks of the Jijal complex, Northwest Pakistan", Journal of Petrology 31(1990) 666-715.
- [21] Bridges J.C., Prichard H.M., Meireles C.A., "Podiform chromitite-bearing ultramafic rocks from the Bragança Massif, northern Portugal: fragments of island arc mantle?", Geological Magazine 132(1995) 39-49.
- [22] Arai S., "Chemistry of chromian spinel in volcanic rocks as a potential guide to magma chemistry", Mineralogical Magazine 56(1992)173-184.
- [23] Tseng C.Y., Yang H., Wu H.Q., Zuo G .C., "The silicate mineral inclusion in the chromian spinel from the Dongcaohe ophiolite, north Qilian mountains, northwestern China: record of syntaxis of lower oceanic crust" Canadian, Mineralogist 45(2007) 793-808.
- [24] Sisir K., Mondal., Edward M. Ripley., Chusi Li., Robert Frei., "The genesis of Archaean chromitites from the Nuasahi and Sukinda massifs in the Singhbhum Craton, India", Precambrian Research 148(2006) 45-66.
- [25] Kamenetsky V.S., Crawford A.J., Meffre S., "Factors controlling chemistry of magmatic spinel: an empirical study of associated olivine, Cr-spinel and melt inclusions from primitive rocks", Journal of Petrology 42(2001) 655-671.
- [4] Rollinson H., "The geochemistry of mantle chromitites from the northern part of the Oman ophiolite: inferred parental melt compositions", Contribution to Mineralogy and Petrology 156 (2008) 273- 288.
- [5] Melcher F., Grum W., Simon G., Thalhammer T.V., Stumpel E., "Petrogenesis of the ophiolitic giant chromite deposits of Kempirsai, Kazakhstan: a study of solid and fluid inclusions in chromite", Journal of Petrology 38(1997) 1419-1458.
- [6] Zhou M.F., Robinson P.T., Bai W.j., "Formation of podiform chromitites by melt/ rock interaction in the upper mantle", Minerlium Deposita 29(1994) 98-101.
- [7] Zhou M.F., Robinson P.T., Malpas J., Zijin L., "Podiform Chromities in the Luobusa ophiolite (southern Tibet): Implications for melt-rock interaction and chromite segregation in the upper mantle", Journal of Petrology 37(1996) 3-21.
- [8] Zhou M.F., Bai W.j., "Chromite deposite in China and their origin", Mineralium Deposita 27(1992) 192-199.
- [٩] رادفر ج.، و همکاران، " نقشه زمین شناسی ۱۰۰۰۰۰۱ / اخوی "، سازمان زمین شناسی کشور (۱۳۷۲).
- [١٠] امینی ب.، و همکاران، " نقشه زمین شناسی ۱۰۰۰۰۰۱ / دیزج "، سازمان زمین شناسی کشور (۱۳۷۲).
- [١١] [ امامعلی پور ع.، "متالوژی افیولیت خوی با نگرشی ویژه بر انباشته‌های سولفوری در آتشفسانی‌های زیردریایی قزل داش خوی "، رساله دکتری، دانشکده علوم زمین، دانشگاه شهرید بهشتی (۱۳۸۰)، ص ۴۶۶-۱.
- [١٢] [ امامعلی پور ع.، "بررسی کانی شناسی کانی‌های فرعی و کمیاب همراه با نهشت‌های کرومیت تاحیه خوی "، مجله بلورشناسی و کانی شناسی ایران، شماره چهارم (۱۳۸۷)، ص ۵۷۰-۵۶۰.
- [13] Droop G.T.R., "A general equation for estimating  $Fe^{3+}$  concentrations in ferromagnesian silicates and oxides from microprobe analysis, using stoichiometric criteria", Mineralogical Magazine 51(1987) 431-435.
- [14] Irvine T.N., "Origin of chromite layers in Maskox intrution and other stratiform intrutions: A new interpretation", Geology 5 (1977) 273-277.
- [15] Leblanc M., Violette J.F., "Distribution of aluminum - rich and chromium - rich chromite